

# تحليل حالات العواصف الغبارية الأبرز في شهر أبريل ٢٠٢٤ م على المملكة العربية السعودية

Analysis of the Most Prominent Dust Storm Cases in April 2024 in the Kingdom of Saudi Arabia

إعداد

جواهر مفرح مرعي القحطاني  
Jawaher Mufreh Marai Al-Qahtani

المركزالأقليبي للعواصف الغبارية

دلال محمد المطيري  
Dalal Mohammed Al-Mutairi

المركزالأقليبي للعواصف الغبارية والرمادية

محمد بادخن  
Mohammed Badakhan  
مدير عمليات المناخ بالمركز الوطني للأرصاد

*Doi: 10.21608/jasg.2025.443042*

استلام البحث : ٢٠٢٥ / ٤ / ١٢

قبول النشر: ٢٠٢٥ / ٦ / ٢

القحطاني، جواهر مفرح مرعي و المطيري، دلال محمد و بادخن، محمد (٢٠٢٥). تحليل حالات العواصف الغبارية الأبرز في شهر أبريل ٢٠٢٤ م على المملكة العربية السعودية. *المجلة العربية للدراسات الجغرافية*، المؤسسة العربية للتربية والعلوم والآداب، مصر، ٣٧ ، (٢٤) ، ٦٤ - ٣٧.

<https://jasg.journals.ekb.eg>

## تحليل حالات العواصف الغبارية الأبرز في شهر أبريل ٢٠٢٤ م على المملكة العربية السعودية

### المستخلص:

هدفت هذه الدراسة إلى رصد الحالات الغبارية الأبرز في شهر أبريل عام ٢٠٢٤ م و تتبع مساراتها، من أجل معرفة النمط الذي تتخذه العواصف الغبارية في موسمها الفعلي، وقد تم رصد الحالات الأكثر وقوعاً لهذا الموسم في حينه من النشرات الساعية وبيانات من المنظمة الأوروبية للأقمار الصناعية لرصد الطقس EUMETSAT ، واستنتجت الدراسة أن اختلاف مراكز الضغط الجوي واضطرابها على المملكة هي السبب الرئيسي لحدوثها في هذا الشهر من كل سنة، وأوصت بضرورة تتبع الحالات الغبارية في المواسم القادمة لتحديد مساراتها لمساعدة متخذي القرار لتقدير تبعاتها وسرعة الإنذار المبكر منها، بالإضافة لدعم عمليات النجدية المكانية وتطويرها.

**الكلمات المفتاحية:** العواصف الغبارية، الأقمار الصناعية، مناخ المملكة العربية السعودية

### Abstract:

This study aimed to document the most significant dust events in April 2024 and track their trajectories to understand the typical patterns followed by dust storms during their active seasons. The most impactful cases were monitored in real time using hourly weather bulletins and data from the European Organization for the Exploitation of Meteorological Satellites (EUMETSAT) and were further supported by live images captured by residents in the affected areas and shared via social media platforms. The study concluded that fluctuations and disturbances in atmospheric pressure systems over the Kingdom are the primary drivers of these events during this particular month each year. It recommended continued monitoring of dust storms in upcoming seasons to better identify their paths, thereby supporting decision-makers in mitigating their impacts and enhancing early warning systems. Additionally, the study emphasized the importance of advancing and supporting spatial modeling processes.

**Keywords:** dust storms, satellites, numerical models, Saudi Arabia's climate

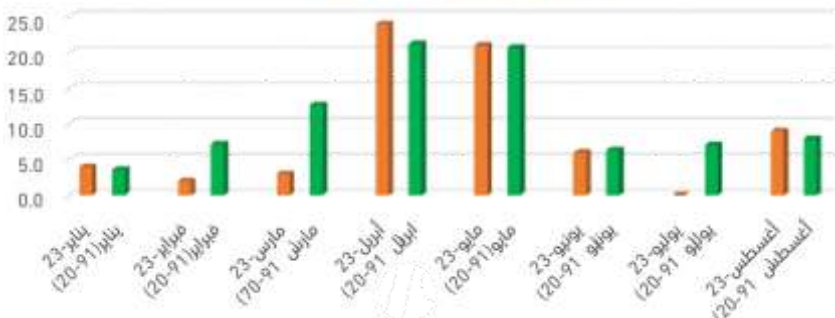
## **تحليل حالات العواصف الغبارية الأبرز في شهر أبريل ٢٠٢٤م على المملكة العربية...، جواهر القحطاني وأخرون**

### **المقدمة:**

يُعدّ موسم الربيع هو الموسم الفعلى لهبوب العواصف الغبارية، وتمتاز حركة العواصف الغبارية في المملكة العربية السعودية بأنها تقطع مساحات شاسعة منها بحركة نمطيه من الشمال إلى الجنوب متذكرةً شكلاً دورانياً موازياً لتضاريس السطح وارتفاعاته إذا ما وصلت لوادي الدواسر تقريباً (Labban & Butt, 2020)، وتتسرب الإضطرابات السينوباتكية في خلق حالات من العواصف الغبارية خلال أشهر الربيع الانتقالية في المملكة العربية السعودية، مما يجعله الموسم الفعلى لهبوبها وتشكل الموجات الأعنف منها.

### **المشكلة:**

توافر تكرارات العواصف الغبارية في المملكة خاصة في الفصول الانتقالية؛ حيث أظهرت تقارير (المركز الإقليمي للتغير المناخي، ٢٠٢٣م) أن تكرارات هبوب العواصف الغبارية كانت الأعلى خلال شهر أبريل وكانت أعلى من المعدل الطبيعي لأشهر أبريل خلال الفترة المرجعية ١٩٩١-٢٠٢٠م وأن أكثر محطة سجلت رصداً للعواصف الغبارية هي وادي الدواسر بعدد ٩ حالات غبارية في شهر أبريل (الشكل-١)، وهذا يُحسب كمشكلة بيئية ينبغي فهمها وتحليلها للتوصيل إلى الحل الأمثل لمعالجتها؛ الأمر الذي دعانا لتحليل حالات شهر أبريل لعام ٢٠٢٤م كأثر الأشهر في توافر حدوث العواصف الغبارية على المملكة العربية السعودية، وتجر الإشارة إلى أن تلك العواصف تتسبّب في كوارث صحية حقيقة لمرضى الجهاز التنفسي فضلاً عن أضرارها السلبية على البيئة وكافة القطاعات الأخرى.



(الشكل-١) تكرار العواصف الغبارية على المملكة العربية السعودية لعام ٢٠٢٣ مقارنة بالفترة المناخية المرجعية (١٩٩١ - ٢٠٢٠م)  
المصدر: المركز الإقليمي للتغير المناخي، ٢٠٢٣م، ص ١٢

**أهمية الدراسة:**

تبرز أهمية هذا البحث في الحاجة الماسة لمعرفة مسارات العواصف الغبارية السائدة على المملكة العربية السعودية ومواسمها؛ حيث إن ذلك يساعد في اتخاذ القرارات الاستباقية اللازمة لحماية الأرواح والمتلكات والبيئة.

**أهداف الدراسة:**

يهدف هذا البحث إلى:

- ١- رصد أبرز الحالات الغبارية في شهر أبريل لعام ٢٠٢٤ م
- ٢- تحديد مناطق تشكلها ومساراتها وتلاشيهما.
- ٣- حصر العوامل المؤثرة في تشكلها.

**منطقة الدراسة:**

تشمل حدود البحث جميع مناطق المملكة العربية السعودية التي تمر بها العواصف الغبارية وتتأثر بها في منتصف فصل الربيع (شهر أبريل) لعام ٢٠٢٤ م، وتتضمن هذا البحث المحطات المذكورة في الجدول (١)

**الجدول (١) محطات رصد حالات العواصف الغبارية الأرضية**

اسم المحطة	الرقم	دائرة العرض (LAT)	خط الطول (LONG)	الارتفاع بالمتر
القصيم	40405	٢٦° ١٨' ٢٨"	٤٣° ٤٦' ٠٣"	646.71 m
الظهران	40416	٢٦° ١٥' ٣٤"	٥٠° ٠٩' ٣٩"	16.77 m
الدمام	40417	٢٦° ٢٧'	٤٩° ٤٩'	12 m
الرياض	40438	٢٤° ٤٢' ٤٠"	٤٦° ٤٤' ١٨"	619.63 m
وادي الدواسر	41061	٢٠° ٣٠'	٤٥° ١٣'	622 m
شرورة	41136	١٧° ٢٨' ٠٤"	٤٧° ٠٦' ٢٩"	724.65 m

المصدر: المركز الوطني للأرصاد، ٢٠٢٤ م

**الدراسات السابقة:**

- تناول (Alharbi, 2010) المناطق المصدرة للعواصف الغبارية التي تؤثر على شمال ووسط وشرق السعودية، وتوضح الديناميكيات الجوية اللازمة لرفع الغبار إلى الغلاف الجوي ونقله إلى المنطقة. كما ناقش كيفية تغير العواصف الغبارية على مدار السنة وأنماط الطقس السطحية التي تحملها في المملكة العربية السعودية بهدف تحليل أعنف العواصف الغبارية التي أثرت على السعودية، خاصة في المناطق الحيوية والاقتصادية، وتقييم تأثيرها واعتمدت الدراسة على تحليل ثلاثة حالات عواصف شديدة من عام ٢٠٠٩ باستخدام بيانات رصد أرضي، صور أقمار صناعية، ونماذج عددية مثل NAAPS. وأوصت الدراسة

## تحليل حالات العواصف الغبارية الأبرز في شهر أبريل ٢٠٢٤ م على المملكة العربية...، جواهر القحطاني وأخرون

بضرورة تحسين شبكة الرصد السطحي، وتحديث النماذج العددية، وزيادة استخدام صور الأقمار الصناعية للتنبؤ الفعال.

- **تعمق (Al-Jumaily et al,2013)** في دراسة الأنماط السينوبтика المرتبطة بتشكل العواصف الغبارية في العراق من خلال تحليل ثلاث حالات شديدة بين عامي ٢٠١٠ و ٢٠١٢، اعتمدت على صور الأقمار الصناعية (MODIS)، وبيانات مؤشر الهباء الجوي TOMS، وخرائط الطقس السطحية والعليا من NOAA، مع تحليل بيانات الضغط، الرياح، والسرعة الرئيسية أظهرت الدراسة أن معظم العواصف تنشأ بسبب تشكل منخفض سطحي فوق إيران يؤدي إلى رياح شمالية (شمالية غربية) باردة تدفع الغبار من صحراء سوريا نحو العراق. كما يرتبط ارتفاع قيم مؤشر TOMS AI (<١٢٥) بشدة الحدث الغاري، وخاصة عند وجود سرعة رياح غربية وصعود هوائي واضح.

- **صنف (Mashat ٢٠٢٠)** في هذه الدراسة حالات الغبار الربيعية في شمال شبه الجزيرة العربية إلى خمس فئات، بناءً على مؤشر الهباء الجوي (AI) من القمر الصناعي TOMS، ودرج تلك التصنيفات من "خلالية من الغبار" إلى "شديدة الغبار". وقد تم تحليل التوزيع الأفقي للأوزون الكلي والخصائص السينوبтика لهذه الفئات باستخدام بيانات TOMS وبيانات إعادة التحليل من NCEP/NCAR. وانتهت النتائج إلى أن تركيز الأوزون زاد في المناطق الجنوبية مع زيادة شدة الغبار، بينما انخفض في المناطق الشمالية، وأن أنظمة الغبار تشتت عندما تكون الظروف الجوية موائمة مع تعمق الضغط المنخفض السطحي أو عند تأثير منخفض علوي واضح على المنطقة، وأكّدت النتائج أن تركيز الأوزون في شمال شبه الجزيرة العربية ينخفض مع زيادة شدة الغبار، بينما يزداد في الجنوب مع ضعف الغبار، وأن الجانب الشرقي من المنطقة يتعرض لعواصف غبارية أكثر مقارنةً بالجانب الغربي القريب من البحر الأحمر.

- **حل (Labban et al,2021)** العواصف الغبارية والتراياية في المملكة العربية السعودية وارتباطها بتداعيات التغير المناخي بهدف تقييم سلوك العواصف الغبارية والتراياية في فترات دورات النينو من خلال استجلاب بيانات ٣٠ عاماً ١٩٨٥-٢٠١٤ وتحليلها. وأظهرت النتائج أن الارتباط بين العواصف الغبارية وهطول الأمطار وسرعة الرياح باتجاه تنازلي بينما الحرارة مع العواصف الغبارية لها اتجاه تصاعدي خلال فترة الدراسة، وأن العواصف الغبارية لها أقصى درجة ارتباط مع الرياح والحرارة وأقل درجة ارتباط مع الأمطار، وأن العلاقة بين العواصف الغبارية وظاهرة النينو في العقد الأخير وظاهرة النينو في العقودتين الأولىين كانت مهيمنة وأن هذه النتائج ستكون مفيدة في الأبحاث المتعلقة بالمركبات العضوية على المستوى الإقليمي والعالمي.

- هدف (Awadh, 2023) إلى تحليل أسباب ازدياد تكرار العواصف الرملية والغبارية في منطقة الشرق الأوسط باستخدام العراق كنموذج، مع تحديد مصادرها واقتراح حلول للتخفيف من آثارها. واعتمدت الدراسة على تحليل بيانات مناخية تمتد لـ ٦٠ عاماً (١٩٦٠-٢٠٢٢)، وبيانات انبعاثات ثاني أكسيد الكربون، باستخدام أدوات إحصائية مثل SPSS ، وتقنيات استشعار عن بعد، وتحليل تركيبي ومعدني لجزئيات الغبار، وأظهرت الدراسة أن ارتفاع درجات الحرارة بمقدار  $2^{\circ}\text{C}$  وزنادة انبعاثات الكربون أديا إلى ارتفاع تكرار العواصف الغبارية من ٧٥ إلى ٢٠٠ مرة سنوياً. وأوصت الدراسة بتقنيات التنبؤ والإذار المبكر، والتشجير بمقاييس للجفاف، للحد من آثارها البيئية والصحية.

من هنا يبرز اختلاف هذه الدراسة عما سبق في عدة أوجه: أنها تعتمد على تحليل بيانات محطات الرصد الأرضية من حيث مدى الرؤية الافقية وسرعة الرياح واتجاهاتها ودرجة الحرارة وكذلك صور الأقمار الصناعية، وتفسير مسببات حركة العاصفة الغبارية بناءً على التتطافر الديناميكي بين طبوغرافية السطح والوضع العام للطقس، فيما اختلفت منهجية (Alharbi, 2010) عن هذه الدراسة من حيث تحليلها للعوامل المسيبة والآثار الناجمة عن العواصف الغبارية واعتماده على مخرجات النماذج العددية NAAPS ، أما دراسة (Al-Jumaily et al, 2013) فهي تقارب إلى حد ما من هذه الدراسة باستثناء اختلاف منطقة البحث، بينما اختلفت دراسة (Mashat, ٢٠٢٠) من حيث اعتماده على البيانات المعاد تحليلها من NCEP/NCAR فضلاً عن تحليله لعلاقة طبقة الأوزون مع عمق الهباء الجوي وتركيزه في الغلاف الجوي، ويتبين تحليل (Labban et al, 2021) مع هذه الدراسة في إدخال ظاهرة النينو وعلاقتها بمواسم الغبار في المملكة ، بينما دراسة (Awadh, ٢٠٢٣) حللت الوضع الكامل للعواصف الغبارية المؤثرة على الشرق الأوسط على مدى ٦٠ عاماً ولم يليست الحالات وشهر محدد كما أوردنا في هذه الدراسة، وبشكل عام فإنه ليس هناك منهجية محددة لتتبع سلوك العواصف الغبارية طالما أن الدراسة تحقق النتائج المستهدفة بدقة و موضوعية.

منهجية الدراسة وأدواتها:

اتبع هذا البحث المنهج الوصفي التحليلي إسوة بجميع الدراسات الجغرافية-المُناخية التي تتطلب وصف تفاصيل الظاهرة ومن ثم تحليلها حسب الظروف التضاريسية والبيئية الراهنة، وهنا تم الاعتماد على:

١- النشرات الساعية للمحطات المناخية المأهولة التي رصدت عناصر الطقس أبيان حدوث العاصفة الغبارية، وقد تم تحويل التوقيت من التوقيت العالمي UTC إلى المحلي Local، ويدل الرمز Bldu على ظاهرة الأتربة المثارة بينما DS فيعني العواصف الغبارية كأكواذ معتمدة من منظمة الأرصاد الجوية العالمية.

## **تحليل حالات العاصفة الغبارية الأبرز في شهر أبريل ٢٠٢٤م على المملكة العربية...، جواهر القحطاني وأخرون**

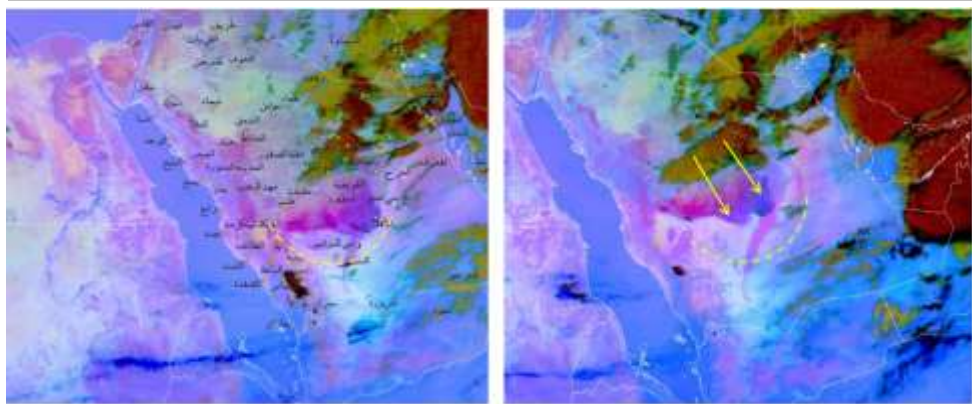
٢- صور من موقع EUMETSAT في نفس توقيت العاصفة الغبارية للتحقق من دقة التشرفات الساعية المرصودة في موقع المطحات المأهولة (<https://view.eumetsat.int>)

### **التحليل والمناقشة:**

تحقيقاً لأهداف البحث الثلاثة ومنهجيته المتتبعة تم تحليل أبرز الحالات الغبارية في شهر أبريل ٢٠٢٤م على الترتيب من الأقدم إلى الأحدث وكانت على النحو الآتي:  
الحالة الأولى ١٥ أبريل ٢٠٢٤م:

نشأت العاصفة شمال شرق منطقة القصيم الساعة ٧:٠٠ صباحاً من النفود ،حيث كانت درجات الحرارة ٢٠°C واتجاه الرياح شرقية شمالية وبلغت سرعتها ١٣ عقدة/الساعة (٢٦ كلم/الساعة) جدول(٢) وهي سرعة كافية لرفع جزيئات التربة خاصة أن تلك المناطق عبارة عن ألسنة رملية متحركة ممتدة من نفود التويرات تتذبذب شكلاً قبائياً ترتفع قممها بين ٣٠٠-٥٠٠متر وتتخللها انخفاضات ذات تربة مفككة خالية من الغطاء النباتي تسهل إثاراتها(الشكل ١)، وبملاحظة سرعات الرياح الساعة ٦:٠٠ صباحاً يتضح أنها كان أعلى منها حين بدء العاصفة ودرجات الحرارة كانت أعلى منها وهذا ما هيأ الفرصة لحدوث العاصفة ، ويظهر أنها نشأت من تيارات رياح هابطة من السحب الركامية، وبالنظر للجدول يلاحظ أيضاً أنها بلغت ذروتها عند الثالثة عصراً حتى ٨ مساءً ، حيث بلغ أدنى مدى للرؤية الأفقية ٢٠٠٠م وذلك بعد ما انحرف اتجاه الرياح إلى الشمال الغربي عند ١٢:٠٠ ظهراً(الشكل ٢) ثم عادت أدراجها إلى شمال شرق القصيم ، ويعزى ذلك إلى الفروقات الواضحة بين درجات الحرارة وقيم الضغط الجوي خلال ساعات حدوتها.

دخلت العاصفة الغبارية إلى شمال وشمال شرق الرياض بعد نشأتها ب ساعتين وذلك عند ٩:٠٠ صباحاً ودرجات الحرارة آنذاك ٦°C ورياح شرقية جنوبية بسرعة ١٢ عقدة/الساعة وما لبثت أن زاد تسارها إلى ٢٣ عقدة/الساعة فيما تدرج انخفاض الرؤية الأفقية إبان حدوثها إلى ٣٠٠٠م عند الساعة ١١:٠٠ مساءً، جدول(١) ثم واصلت الكتلة الغبارية مسارها ووصلت الدوادمي عند الساعة ١٠:٠٠ مساءً فيما سجلت المحطة رياح شمالية سرعتها ٢٨ عقدة/الساعة وتذبذبت الرؤية الأفقية إلى ١٠٠م ، وقد واصلت مسیرها نحو الجنوب إلى أن وصلت وادي الدواسر عند ١٠:٠٠ مساءً على هيئة أتربة مثاره بمدى رؤية ٢٠٠٠م حتى انتهت عند ١١:٠٠ صباحاً ١٦ أبريل ٢٠٢٤م



(الشكل ٢) صورة فضائية لعاصفة  
١٥ أبريل ٢٠٢٤ م الغبارية الساعة ١٢ مساءً

(الشكل ١) صورة فضائية لعاصفة  
١٥ أبريل ٢٠٢٤ م الغبارية الساعة ٧ صباحاً

المصدر: <https://view.eumetsat.int>

(الجدول ١-٣-٢-١) بيانات المحميات المناخية التي رصدت عاصفة ١٥ أبريل ٢٠٢٤ م

الرؤية	الضغط الجوي	الندى	الحرارة	اتجاه الرياح	سرعة الرياح/عقدة	التوقيت
CAVOK	1005	4	21	50	15	06:00
NCS 6000	1006	5	20	40	13	07:00
DU 4000	1005	6	22	40	13	08:00
BLDU 5000	1006	6	24	50	15	09:00
BLDU 5000	1007	6	27	20	15	10:00
DU 5000	1006	5	28	40	12	11:00
DU 5000	1006	5	29	320	8	12:00
BLDU 3000	1005	5	30	350	16	13:00
BLDU 2000	1005	5	30	360	18	14:00
BLDU3000	1006	7	30	10	22	15:00
BLDU 5000	1006	7	28	360	22	16:00
NCS 7000	1007	6	27	360	20	17:00
FEW 8000	1007	7	24	10	22	18:00
SCT 8000	1010	8	22	360	22	19:00
BKN 8000	1013	10	20	310	23	20:00
TSRA 8000	1013	13	17	340	17	21:00
RA 9999	1012	12	16	20	15	22:00

**تحليل حالات العواصف الغبارية الأبرز في شهر أبريل ٢٠٢٤ على المملكة العربية ...، جواهر القحطاني وأخرون**

الرؤية	الضغط الجوي	الندي	الحرارة	اتجاه الرياح	سرعة الرياح/عقدة	التوقيت	محطة المريض
cavok	1010	1	24	130	10	08:00	
nsc8000	1011	2	26	140	12	09:00	
bldu5000	1011	1	28	140	23	10:00	
bldu5000	1010	0	29	150	23	11:00	
bldu5000	1009	1	30	140	22	12:00	
bldu5000	1008	3	31	150	12	13:00	
bldu5000	1007	5	32	150	12	14:00	
du5000	1005	7	33	150	10	15:00	
du5000	1005	7	33	180	10	16:00	
bkn6000	1004	8	33	160	11	17:00	
bkn6000	1004	5	33	230	12	18:00	
few 7000	1005	11	32	240	9	19:00	
nsc 8000	1006	9	29	270	5	20:00	
bldu 3000	1007	9	23	60	16	21:00	
bldu 3000	1007	10	21	70	16	22:00	
du 3000	1008	10	21	70	8	23:00	
nsc 6000	1009	10	20	70	7	00:00	
nsc 7000	1008	10	20	110	4	01:00	

الرؤية	الضغط الجوي	الندي	الحرارة	اتجاه الرياح	سرعة الرياح/عقدة	التوقيت	محطة التواليمي
cavok	1007	0	27	350	10	19:00	
ds 800	1008	6	25	360	28	20:00	
ds 100	1010	8	19	360	38	21:00	
ds 400	1010	10	17	20	34	22:00	
ds 600	1011	10	17	360	30	23:00	
bldu 2000	1012	10	15	350	23	00:00	
bldu 3000	1012	10	15	350	22	01:00	
cavok	1012	9	15	330	16	02:00	

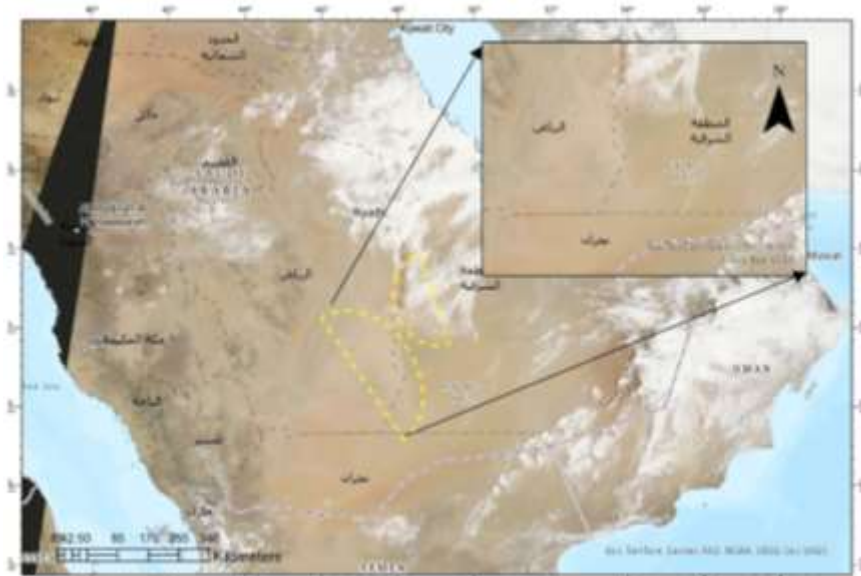
الرؤية	الضغط الجوي	الندى	الحرارة	اتجاه الرياح	سرعة الرياح / عقدة	التوقيت
cavok	1004	6	34	350	4	19:00
bldu5000	1005	4	34	280	14	20:00
du2000	1006	1	33	300	8	21:00
du2500	1006	1	33	300	10	22:00
du4500	1007	1	31	300	10	23:00
du4800	1007	4	29	310	6	00:00
vsc7000	1007	9	28	300	14	01:00

المصدر: المركز الوطني للأرصاد ٢٠٢٤  
الحالة الثانية ٦ أبريل ٢٠٢٤:

يتضح من (الشكل ٣) وجود كتلتين غباريتين متوازيتين و مختلفي الاتجاه ، فالكتلة الأولى قادمة من الجنوب الغربي بالتحديد من شمال شرق منطقة نجران والمناطق المفتوحة شرق بيشة ووادي الدواسر التي تُعد من البؤر التي تتبع منها حالات متكررة من الغبار، أما الكتلة الأخرى فهي قادمة من السواحل الشرقية ذات الترب الملحة المفككة الجافة التي تصنف ضمن ترب التوري سامنتس Torripsamments الناتجة عن انحسار بحر تنس إبان العصر الجيولوجي الثالث(الإيوسين) وبسهولة حملها وإثارتها ، ولكن لم تسجل النشرات الساعية أي تدني للرؤية الأفقية آنذاك (الجدولين ٦، ٥) وهو خلاف ما أظهرته صور الأقمار الصناعية في (الشكل ٤).

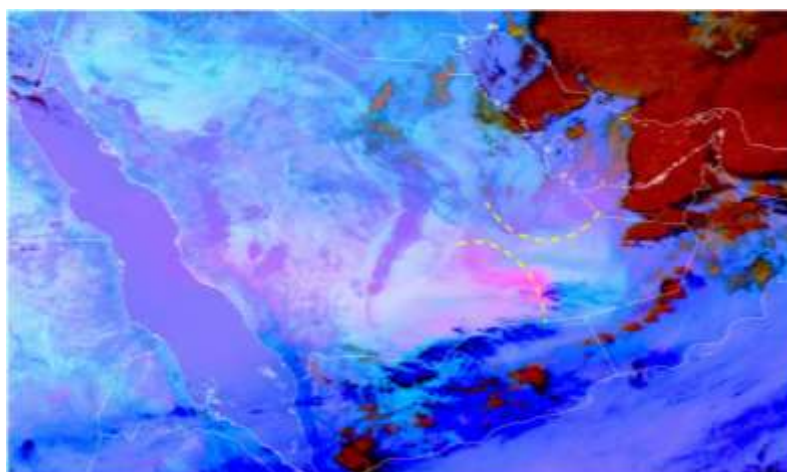
بدأت بوادر الحالة عند الساعة ٥:٥٠ عصراً بأتربة مثارة نتجت عن رياح شمالية غربية سرعتها ١٤ عقدة كما في (الجدول ٥) وما لبثت أن تسارعت الرياح مع تدني الرؤية الأفقية حتى وصلت إلى ١٠٠ مٌ عن الساعة ٨:٠٠ مساءً سجلتها المحطة حالة DS حينما زادت سرعة الرياح الشمالية الغربية إلى ٢٢ عقدة، وتوضح كثافة الغبار في (الشكل ٣) ثم بدأ هذا الغبار بالتمرحل شرقاً متوجهة إلى شرورة عند الساعة ٩:٠٠ مساءً وتحسن مدى الرؤية الأفقية إلى ١٠٠٠ مٌ في وادي الدواسر، وفي (الشكل ٤) يظهر جلياً كثافة وتركيز الغبار على محافظة شرورة! بيد أن أدنى انخفاض في الرؤية الأفقية سجلتها المحطة هو ٣٥٠٠ مٌ عند الساعة ١٠:٠٠ مساءً(الجدول ٦)، وربما يعزى ذلك لبعد موقع المحطة عن مسار الغبار مما يقلل من تأثيره على محيط المحطة وعين الراصد المجردة. وهنا تظهر أهمية هذه الدراسة من حيث اعتمادها على بيانات محطات الرصد مع التحقق بواسطة مخرجات الأقمار الصناعية ذات الألوان الحقيقة والمزيفة التي تتعكس من ذرات الغبار.

## تحليل حالات العاصف الغبارية الأبرز في شهر أبريل ٢٠٢٤ م على المملكة العربية ...، جواهر القحطاني وأخرون



(الشكل ٣) موقع الجبهة الهوائية المسيبة للعاصفة الغبارية

المصدر: <https://view.eumetsat.int> بتصرف



الشكل (٤) صورة فضائية لعاصفة ١٦ أبريل الغبارية عند الساعة ٤ مساءً

المصدر: <https://view.eumetsat.int>

**(الجدول ٦-٥) بيانات محطات الرصد المناخية التي رصدت عاصفة ١٦-٤٢٠٢٤ م الغبارية**

الرؤية	الضغط	الندي	الحرارة	اتجاه الرياح	سرعة الرياح/عقدة	التوقيت	الوقت
bldu3200	1009	3	24	320	14	05:00	٢٠٢٤-٠٤-١٦
bldu2000	1010	5	24	320	14	06:00	٢٠٢٤-٠٤-١٦
bldu2000	1011	8	23	330	14	07:00	٢٠٢٤-٠٤-١٦
ds 800	1012	8	24	330	22	08:00	٢٠٢٤-٠٤-١٦
ds 1000	1012	7	25	300	22	09:00	٢٠٢٤-٠٤-١٦
bldu1200	1012	7	27	310	18	10:00	٢٠٢٤-٠٤-١٦
bldu 3000	1012	3	30	310	20	11:00	٢٠٢٤-٠٤-١٦
bldu5000	1011	2	31	290	16	12:00	٢٠٢٤-٠٤-١٦

الرؤية	الضغط	الندي	الحرارة	اتجاه الرياح	سرعة الرياح/عقدة	التوقيت	الوقت
du5000	1010	4	34	40	6	07:00	٢٠٢٤-٠٤-١٦
du4000	1011	4	34	40	7	08:00	٢٠٢٤-٠٤-١٦
du3500	1011	4	33	20	8	09:00	٢٠٢٤-٠٤-١٦
du3500	1012	5	31	20	12	10:00	٢٠٢٤-٠٤-١٦
du4000	1014	4	30	30	6	11:00	٢٠٢٤-٠٤-١٦
few 7000	1013	4	30	20	6	12:00	٢٠٢٤-٠٤-١٦

المصدر: المركز الوطني للأرصاد ٢٠٢٤ م

الحالة الثالثة: ٢٣ أبريل ٢٠٢٤ م:

تشكلت العاصفة بدايةً في محافظة المثنى بالعراق في مدينة السماوة تحديداً و هي تقع على الضفة الشرقية من نهر الفرات، و عند استكشاف تلك البقعة عن طريق Google Earth ظهر بوضوح جفافها و خلوها من الغطاء النباتي(الشكل ٥) وهي من ضمن مصادر الغبار الإقليمية المؤثرة على المملكة العربية السعودية، وبسبب خلو مسارها من أي مصادر طبيعية وصلت إلى حدود دولة الكويت (الشكل ٦) ثم استمرت بالاتجاه جنوباً عند الساعة ٤:٠٠ عصراً، لتتوفر الظروف الملائمة لها من حيث سرعة الرياح ٢١ عقدة واتجاهها(شماليّة) فيما سُجلت مدى الرؤية ٥٠٠٠ م، ولكنها انخفضت الرؤية بتوغل العاصفة داخل الأراضي الكويتية إلى ٢٠٠٠ م في الساعة ٨:٠٠ مساءً وبدأت بالتللاشي في تمام الساعة ١٠:٠٠ مساءً، ثم استمرت في طريقها للدخول إلى الأراضي السعودية، ويتبين من (الشكل ٧) أن الغبار يسيراً بمحاذة سواحل الخليج العربي السعودية؛ لذلك لم ترصد المحطات المناخية أرقاماً تتنمّ عن وجود غبار كثيف كما في(الجدول ٧) حتى وصلت الدمام عند

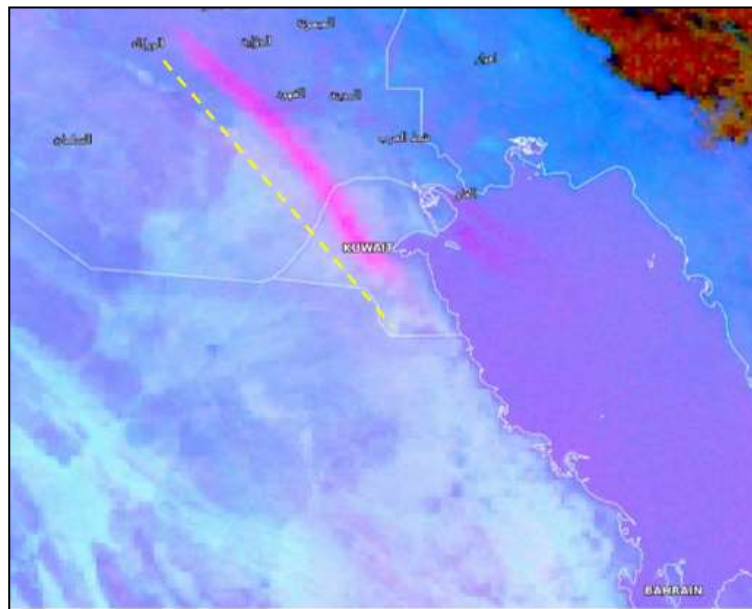
## تحليل حالات العاصفة الغبارية الأبرز في شهر أبريل ٢٠٢٤ على المملكة العربية...، جواهر القحطاني وأخرون

الساعة ٤:٠٠ فجراً برياح شمالية غربية سرعتها لم تتجاوز ١٢ عقدة! وهي سرعة غير كافية لحمل ذرات الأتربة والغبار ، وعندما مرت بمحاذاة محطة الظهران عند الساعة ٥:٠٠ فجراً سجلت رياح شمالية غربية سرعتها ١٣ عقدة ؛ حيث إن أدنى مدى للرؤية الأفقية سجلته المحطتين أثناء عبور العاصفة الغبارية فوق سواحل الخليج العربي المحاذية للنمام والظهران هو ٥٠٠٠ م فقط ، وتتجدر الإشارة إلى خلو المناطق الساحلية التي مرت بها العاصفة من أي مصادر طبيعية كالجبال و نحوها سوى تكوينات الدهماء الرملية بتراوح ارتفاعها بين ٥٠٠-٣٠٠ م وتميز بأنها كثبان قبابية سريعة الحركة وتقطع مسافة أكثر من ١٥ مترا سنوياً(الإدارة العامة للمساحة العسكرية، ٢٠١٣م) الأمر الذي يجعل من إعادة تأهيلها ذو أهمية بالغة.

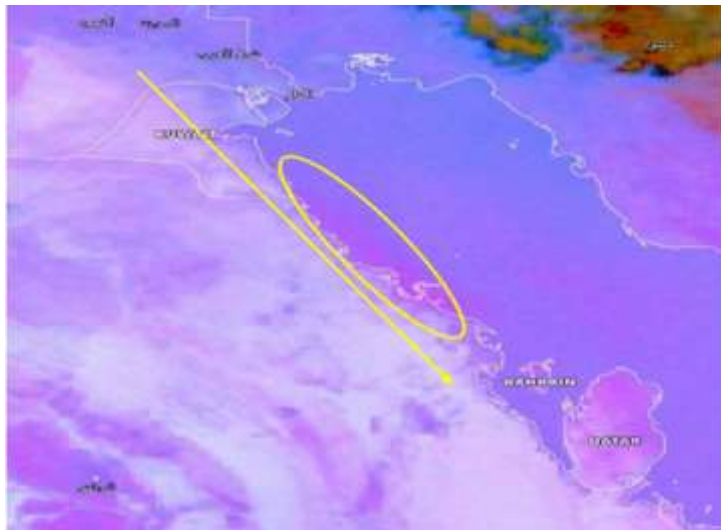


(الشكل ٥) موقع تشكّل العاصفة

المصدر: <https://view.eumetsat.int> بتصرف



(الشكل ٦) صورة فضائية للعاصفة أثناء دخولها إلى الكويت



(الشكل ٧) مسار العاصفة على السواحل السعودية الشرقية

المصدر: <https://view.eumetsat.int>

**تحليل حالات العواصف الغبارية الأبرز في شهر أبريل ٢٠٢٤ م على المملكة العربية ...، جواهر القحطاني وأخرون**

**(الجدول ٧) بيانات محطات الرصد المناخية التي رصدت عاصفة ٢٣ أبريل ٢٠٢٤ المناخية**

التوقيت	سرعة الرياح/عقدة	اتجاه الرياح	الحرارة	الندى	الضغط	الرؤية
16:00	21	320	31	4	1007	5000 HZ
17:00	13	330	32	3	1008	4500DU
18:00	13	330	32	3	1007	3500DU
19:00	13	350	33	4	1007	3000BLDU
20:00	17	340	34	4	1007	2000BLDU
21:00	19	340	35	4	1006	5000BLDU
22:00	18	350	35	4	1006	8000BLDU

محطة العزيزية ٢٣ أبريل ٢٠٢٤

التوقيت	سرعة الرياح/عقدة	اتجاه الرياح	الحرارة	الندى	الضغط	الرؤية
04:00	12	310	25	16	1009	8000NSC
05:00	12	310	24	16	1010	8000NSC
06:00	12	310	24	17	1010	5000BLDU
07:00	13	310	25	16	1010	8000NSC
08:00	13	320	28	12	1011	CAVOK

محطة العزيزية ٢٣ أبريل ٢٠٢٤

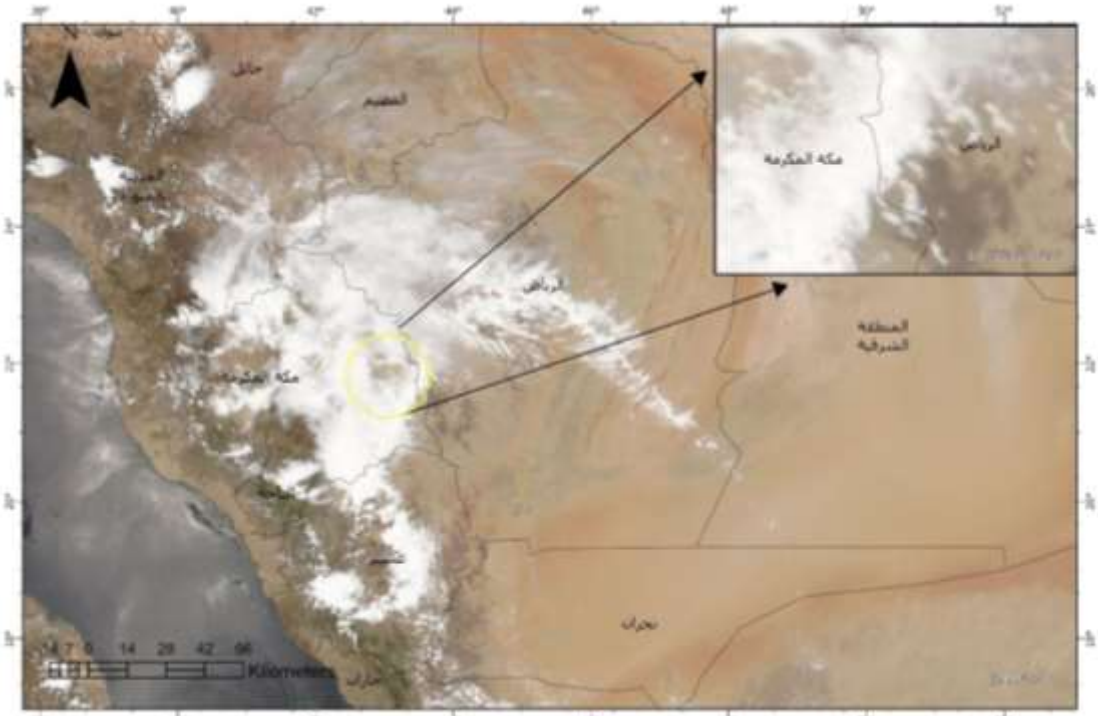
التوقيت	سرعة الرياح/عقدة	اتجاه الرياح	الحرارة	الندى	الضغط	الرؤية
04:00	10	330	25	18	1008	8000NSC
05:00	13	330	25	17	1008	6000NSC
06:00	14	330	26	15	1008	5000BLDU
07:00	16	340	27	14	1009	6000NSC
08:00	16	330	29	12	1009	7000NSC
09:00	14	320	30	13	1010	7000NSC
10:00	19	320	32	10	1010	CAVOK

محطة العزيزية ٢٣ أبريل ٢٠٢٤

المصدر: المركز الوطني للأرصاد ٢٠٢٤ م  
الحالة الرابعة: ٢٦ أبريل ٢٠٢٤:

تشكلت العاصفة غرب محافظة وادي الدواسر؛ حيث سجلت المحطة رياح جنوبية غربية سرعتها ١٦ عقدة/الساعة عند الساعة ٦:٠٠ صباحاً وما لبثت أن زادت سرعتها إلى ٢٢ عقدة/الساعة باتجاه شمالي إلى شمالي غربي وبلغ مدى الرؤية الأفقية نحو ١٠٠٠ م

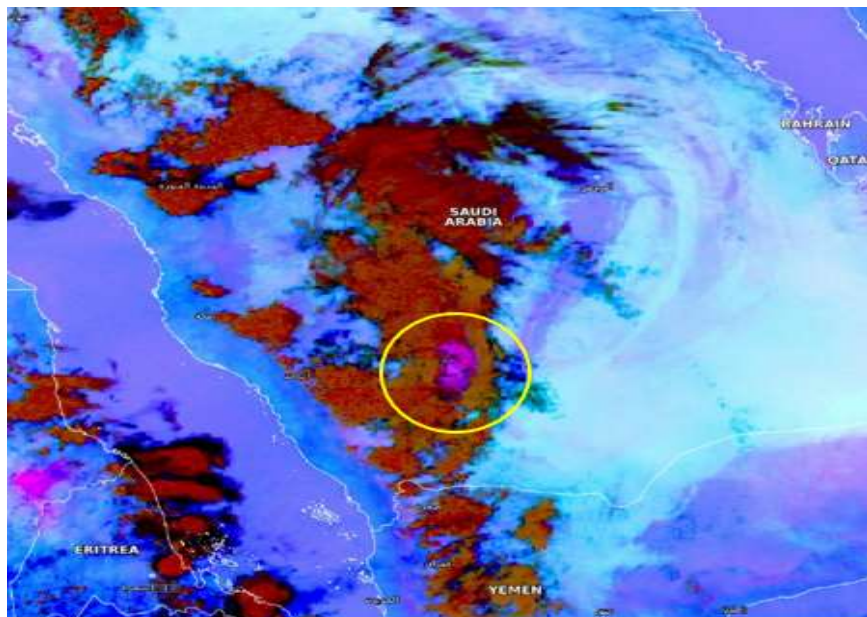
صنفها الراصد كظاهرة Dust storm ويظهر من تحليل صورة القمر الصناعي في (الشكل ٨) أن موقع نشوء العاصفة مغطى بالكامل بالسحب الكثيفة مما يعني أن هذه الحالة ناتجة عن رياح هابطة من تلك السحب الركامية، ويلاحظ أن لون الغبار الذهري الزائف ذو انعكاس واضح جداً لدى القمر الصناعي في (الشكل ٩) وبالعودة للجوانب الطبوغرافية نجد أن تلك المنطقة هي من البؤر التي كثيراً ما ينبع منها الغبار نتيجة لتوفّر الظروف الملائمة من تربة مفككة وسطح ساخن بالإضافة إلى كونها منطقة منبسطة ومفتوحة لا تُصدّ عنها الرياح من جميع الاتجاهات ، والجدير بالذكر أن ترب تلك المنطقة هي من رواسب السهول الفيضية التي جفت وتقعكت إبان حلو عصر الجفاف؛ لذلك نجد الرؤية الأفقية تدنت إلى ١٠٠٠ م لأكثر من خمس ساعات متواصلة رصدها محطة وادي الدواسر كما في (الجدول ٨) بعد ذلك تدنت سرعات الرياح إلى ١٠ ٦ عقد وذلك جعل مدى الرؤية الأفقية يتسع إلى نحو ٢٥٠٠ م عند الساعة ١١:٠٠ صباحاً.



(الشكل ٨) موقع تشكّل العاصفة

المصدر: بتصرف <https://view.eumetsat.int>

## تحليل حالات العواصف الغبارية الأبرز في شهر أبريل ٢٠٢٤ م على المملكة العربية ...، جواهر القحطاني وأخرون



(الشكل ٩) عاصفة يوم ٢٦ أبريل ٢٠٢٤ م الغبارية على محافظة وادي الدواسر  
المصدر: <https://view.eumetsat.int>

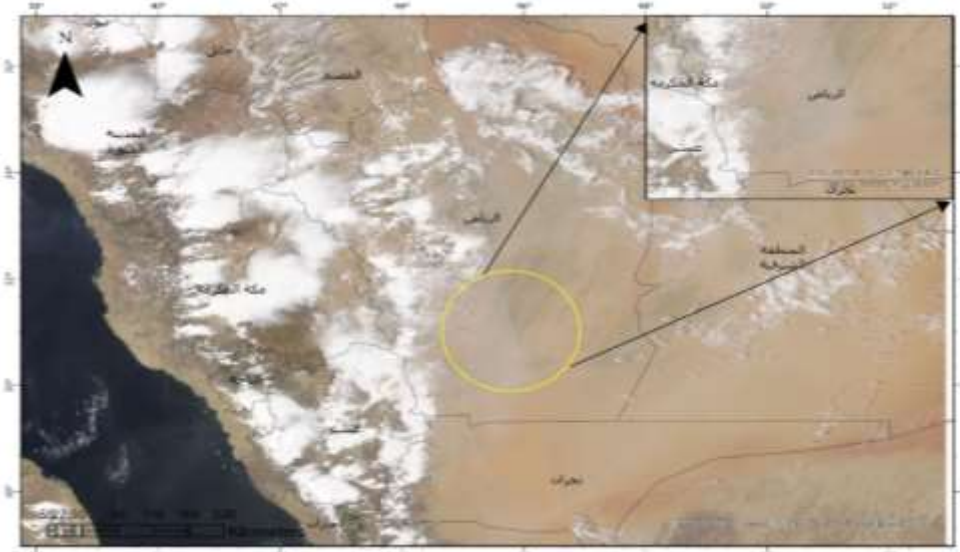
(الجدول ٨) بيانات محطة وادي الدواسر ٢٦ أبريل ٢٠٢٤ م

الرؤية	الضغط الجوي	الندى	الحرارة	اتجاه الرياح	سرعة الرياح/عقدة	التوقيت	الرقم
CAVOK	1006	6	37	130	8	05:00	١
1000DU	1007	8	36	220	16	06:00	٢
1000DS	1008	1	34	310	22	07:00	٣
1000DS	1008	4	33	320	22	08:00	٤
1500DU	1010	4	32	320	10	09:00	٥
1800DU	1009	3	32	100	3	10:00	٦
2500DU	1010	4	32	280	10	11:00	٧

المصدر: المركز الوطني للأرصاد ٢٠٢٤ م  
الحالة الخامسة: ٢٧ أبريل ٢٠٢٤ م:

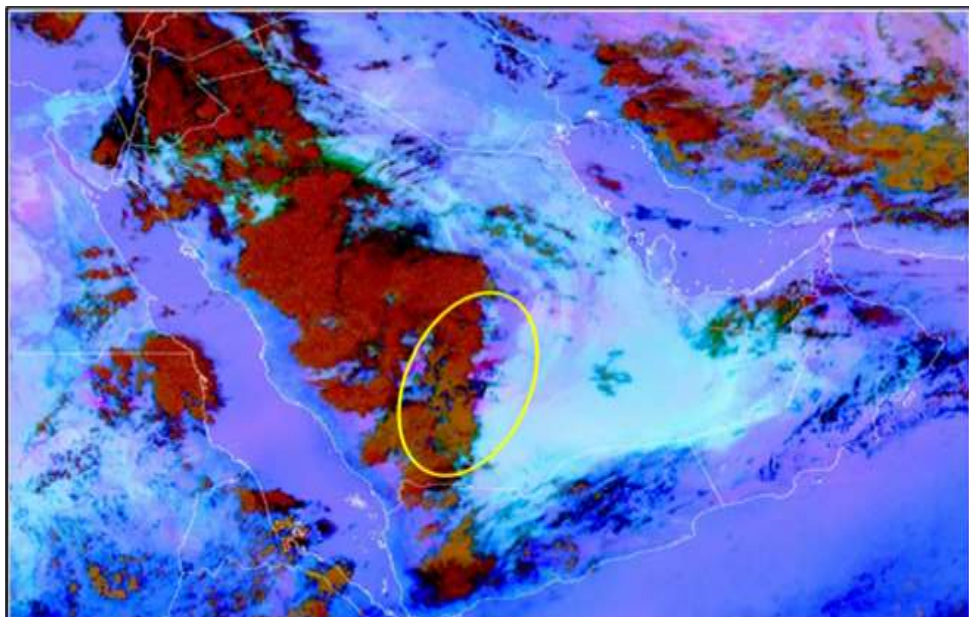
تشكلت هذه الحالة الغبارية على وادي الدواسر عند الساعة ١٢:٠٠ مساءً بفعل رياح غربية شمالية سرعتها ٥ عقد ومن الواضح أنها هبّت على سطح ساخن وترسب شديد الجفاف مما جعل الرؤية الأفقية تتدنى إلى ٢٥٠٠ م وسجلتها المحطة كظاهرة Du بالرغم من

انخفاض سرعة الرياح، واستمرت سرعات الرياح الجنوبية الغربية بالتدنى بين ٥ إلى ٩ عقد حتى اشتدت سرعتها إلى ١٨ عقدة عند الساعة ٠٠:٥٥ عصراً وانعكس اتجاهها إلى غربية شمالية وعندما تدنت الرؤية الأفقية إلى ٣٠٠ م وسجلتها المحطة كأترية مثارة BLDU، وبالنظر لـ (الجدول ٩) يلاحظ أن الرؤية وصلت لهذا المدى بعد ارتفاع درجة الحرارة إلى ٣٥°C أي أنه زاد تسخين سطح الأرض مما سهل عملية تفكك جزيئات التربة على أرض جرداء كما في (الشكل ١٠) و من ثم سهولة رفعها عند وصول الرياح للسرعة الحرجية، وقد واصلت العاصفة السير شماليًا باتجاه الدوادمي التي سجلت آنذاك رياح جنوبية إلى جنوبية غربية عند الساعة ٣:٠٠ عصراً ثم انحرفت اتجاهها إلى جنوبية مع سرعة بلغت ١٨ عقدة عند الساعة ٤:٠٠ عصراً وتدنت الرؤية الأفقية آنذاك إلى ٣٠٠ م كما في (الجدول ٩) وبلغت الرياح أقصى سرعتها عند ٦:٠٠ مساءً ٢٠ عقدة لكن كان هناك تحسناً ملحوظاً في مدى الرؤية الأفقية بلغ ٤٠٠ م وسجلت في بيانات المحطة كأترية مثارة BLDU الأمر الذي يعزز نتائج دراسة (Mashat, 2020) في تصنيف شدة الحالات الغاربة من حيث عمق تركيز الغبار وعلاقته بعمق المنخفض الجوي وتسارع الرياح الناتج عنه.



(الشكل ١٠) موقع تشكّل العاصفة

المصدر: <https://view.eumetsat.int> بتصرّف



(الشكل ١١) صورة فضائية للعاصفة يوم ٢٧ أبريل ٢٠٢٤ م

المصدر: <https://view.eumetsat.int>

(الجدول ٩) بيانات محطات الرصد المناخية التي رصدت عاصفة ٢٧ أبريل ٢٠٢٤ م  
الغبارية

الرؤية	الضغط الجوي	الندى	الحرارة	اتجاه الرياح	سرعة الرياح/عقدة	التوقيت	بيانات العواصف الغبارية في المنطقة الشمالية للمملكة العربية ال Saudia Arabia
2500DU	1009	6	31	290	5	12:00	
3000DU	1009	8	30	320	9	13:00	
4500DU	1009	11	29	290	5	14:00	
6000NSC	1006	0	38	260	4	16:00	
300BLDU	1006	6	35	300	18	17:00	
2000BLDU	1007	7	34	300	18	18:00	
2000BLDU	1008	7	33	320	20	19:00	
2000DU	1009	5	33	350	8	20:00	
4000DU	1010	6	32	130	8	21:00	
5000DU	1011	7	31	330	6	22:00	

المصدر: المركز الوطني للأرصاد م ٢٠٢٤  
الحالة السادسة: ٢٨ أبريل ٢٠٢٤ م:

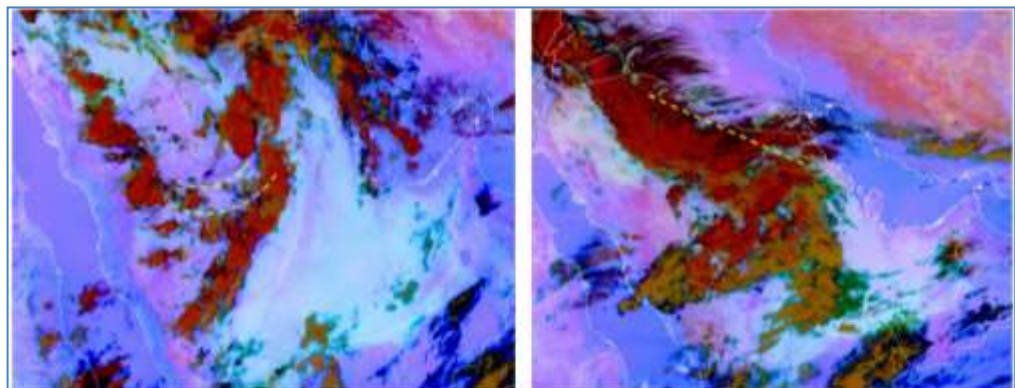
سجلت محطة النجف جنوب العراق عند الساعة ٦:٠٠ مساءً أولى الحالات العبارية التي استمرت ثمانى ساعات أظهرت صور الأقمار الصناعية(الشكل ١٢) أنها نشأت بسبب رياح هابطة من السحب الركامية؛ حيث سجلت المحطة أقصى سر عاتها بنحو ٢٢ عقدة عند ١٠:٠٠ صباحاً وتدنى مدى الرؤية الأفقية ٢٠٠ مترًا ، قبل أن تتجه جنوباً نحو البصرة عند الساعة ١٠:٠٠ مساءً ، وسجلت المحطة أدنى مدى للرؤية في تلك الحالة إلى ٢٠٠٠ م فقط(الجدول ١) وقد تطرق دراسة (Awadh, 2023) لـ تلك المواقع الجغرافية من العراق وأنها تؤثر بشكل كبير على المملكة العربية السعودية بالانبعاثات المتكررة للغبار ذو الأثر البالغ على الصحة العامة نظرًا لتركيز المعادن الثقيلة فيها ؛ حيث تشكل نسبة الطين في عواصف الغبار ٥٧٠٪، مع كمية صغيرة من الطمي (٢٠٠.٦٪) والرمل (٩٦.٤٪) والكوارتز (٤٩.٢٪)، والفلسبار (٤.٩٪، ٢٠.٩٪) والكلسيت (٣٨٪، ٥٪) والجبس (٤٪، ٤٪) والدولوميت (٨٪، ١٠٪).

واستقبلت القيصومة بداية تأثيرات العاصفة الغبارية فسجلت تسارعاً في الرياح الغربية إلى ٢٨ عقدة مع تدني في مدى الرؤية الأفقية إلى ٢٠٠٠ م كأثرية مثارة BLDU عند الساعة ١٠:٠٠ صباحاً، ويظهر من خلال بيانات(الجدول ١٠) أيضاً أن محافظة عرعر تعرضت لتيار هابط من السحب الركامية عند الساعة ١٠:٠٠ صباحاً نتج عنها إثارة للأترية و الغبار و يبرهن ذلك (الشكل ١٣)، وفي نفس الوقت سجلت محطة الدوادمي تدني للرؤية الأفقية إلى ٤٠٠ م بتيار هابط من السحب الركامية بلغت سرعته ٢٥ عقدة، بينما سجلت محطة وادي الدواسر رياح شمالية إلى شماليّة غربية سرعتها ٢٠ عقدة أثارت الاتربة و الغبار على مدى لرؤيه ١٣٠٠ م ، وتعود تلك المناطق التي مرت من المناطق شديدة التعرض للعواصف الغبارية نظراً لطبيعة تربتها و جفافها(الشكل ١٢)

## تحليل حالات العاصفة الغبارية الأبرز في شهر أبريل ٢٠٢٤ م على المملكة العربية ... ، جواهر القحطاني وآخرون



(الشكل ١٢) موقع تشكيل العاصفة



(الشكل ١٤) صورة فضائية للعاصفة في  
الدوادمي يوم ٢٨ أبريل ٢٠٢٤ م

(الشكل ١٣) صورة فضائية للعاصفة شمال  
المملكة يوم ٢٨ أبريل ٢٠٢٤ م

المصدر: بتصرف <https://view.eumetsat.int>

(الجدول ١٠) بيانات محطات الرصد المناخية التي رصدت عاصفة يوم ٢٨ أبريل ٢٠٢٤  
الغبارية

الرؤية	الضغط الجوي	الندي	الحرارة	اتجاه الرياح	سرعة الرياح/عقدة	التوقيت	بيانات الغبارية الصادرة عن المركز الأرصاد الجوية للسنة الجارية
5000DU	1009	12	25	260	5	18:00	
4000DU	1009	12	26	220	6	19:00	
4000DU	1009	11	27	250	6	20:00	
4000DU	1010	10	28	160	7	21:00	
4000DU	1010	9	30	350	6	23:00	
2000DU	1008	9	30	230	13	00:00	
1500DU	1007	12	29	190	27	01:00	
200DS	1006	8	35	110	6	02:00	

الرؤية	الضغط الجوي	الندي	الحرارة	اتجاه الرياح	سرعة الرياح/عقدة	التوقيت	بيانات الغبارية الصادرة عن المركز الأرصاد الجوية للسنة الجارية
9999FEW	1010	10	31	90	8	21:00	
2500DU	1009	12	30	750	10	22:00	
2000DU	1009	13	29	330	10	23:00	
2000DU	1010	13	29	330	10	00:00	
2000DU	1009	12	28	330	8	01:00	
2000DU	1009	11	28	250	8	02:00	

الرؤية	الضغط الجوي	الندي	الحرارة	اتجاه الرياح	سرعة الرياح/عقدة	التوقيت	بيانات الغبارية الصادرة عن المركز الأرصاد الجوية للسنة الجارية
4000BLDU	1012	9	29	210	20	00:00	
2000BLDU	1012	10	26	210	28	01:00	
8000BKN	1012	10	25	280	24	02:00	
9999RA	1014	13	22	180	18	03:00	
9999RA	1013	15	22	120	10	04:00	

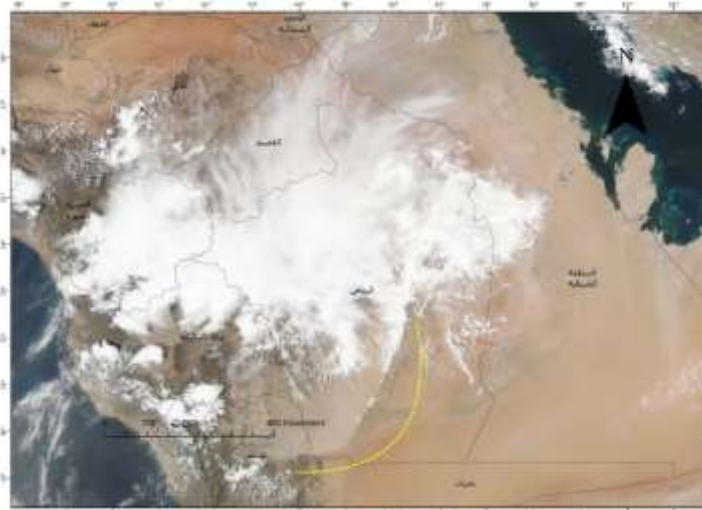
الرؤية	الضغط الجوي	الندي	الحرارة	اتجاه الرياح	سرعة الرياح/عقدة	التوقيت	بيانات الغبارية الصادرة عن المركز الأرصاد الجوية للسنة الجارية
9999SCT	1009	5	27	200	12	09:00	
3000BLDU	1012	8	25	150	18	10:00	
3000BLDU	1012	10	23	150	16	11:00	
5000BLDU	1011	10	23	170	13	12:00	

## تحليل حالات العواصف الغبارية الأبرز في شهر أبريل ٢٠٢٤م على المملكة العربية...، جواهر القحطاني وأخرون

الرؤية	الضغط الجوي	الندي	الحرارة	اتجاه الرياح	سرعة الرياح/عقدة	التوقيت	م
9999SCT	1009	4	30	150	15	05:00	٢٠٢٤/٠٤/٢٩
9999SCT	1010	6	30	210	7	06:00	٢٠٢٤/٠٤/٢٩
1000BLDU	1011	7	26	360	20	07:00	٢٠٢٤/٠٤/٢٩
800SS NSC	1013	10	23	360	25	08:00	٢٠٢٤/٠٤/٢٩

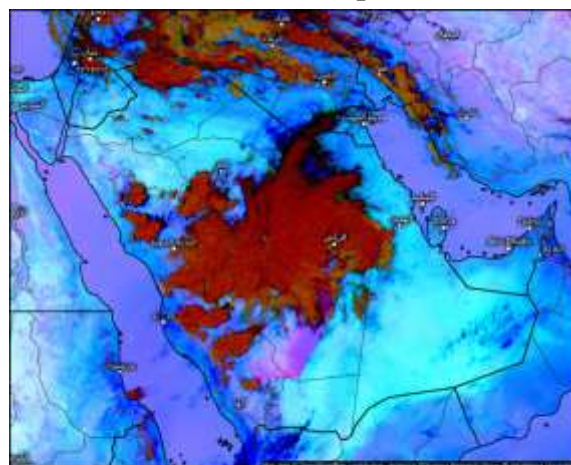
المصدر: المركز الوطني للأرصاد ٢٠٢٤م  
الحالة السابعة: ٢٩ أبريل ٢٠٢٤م:

سجلت محطة البصرة عند الساعة ٣:٠٠ صباحاً أولى الحالات الغبارية التي استمرت ثمان ساعات وظهرت جلياً في صور الأقمار الصناعية في (الشكل ١٦) بأنها نشأت بسبب رياح هابطة من السحب الركامية؛ حيث سجلت المحطة سرعات بنحو ٨ عقدة عند ٣:٠٠ صباحاً وتدنى مدى الرؤية الأفقية ٢٠٠٠ مترًا ، أما محطة النجف فسجلت مدى الرؤية الأفقية ٢٥٠٠ م في تمام الساعة ١٢ مساءً برياح جنوبية شرقية(الجدول ١١) ويظهر أيضاً أن محطة القصيم تعرضت لتباين هابط من السحب الركامية باتجاه رياح جنوبية وعلى سرعة ١٩ عقدة عند الساعة ٤:٠٠ مساءً نتج عنها إثارة للأتربة والغبار ، وانخفضت مدى الرؤية إلى ٢٠٠٠ م واستمرت ٤ ساعات ، وكذلك محطة الدوادمي التي سجلت تدني مدى الرؤية الأفقية عند ٩٠٠ م في ١٢:٠٠ مساءً بسرعة رياح ٣٥ عقدة باتجاه رياح جنوبية غربية، وفي نفس الوقت سجلت محطة وادي الدواسر تدني للرؤية الأفقية إلى ١٠٠٠ م بتباين هابط من السحب الركامية بلغت سرعته ٢٨ عقدة واستمرت لأكثر من نصف يوم تقاوالت فيها الرؤى الأفقية ما بين ٣٠٠٠ متر و ٣٠٠ متر ، وقد رصدت الأقمار الصناعية كثافة الغبار آنذاك ويظهر جلياً في (الشكل ١٦) ويلاحظ من خلال تحليل بيانات عناصر الطقس في (الجدول ١١) أن العواصف الغبارية تتشكل عندما تبلغ درجات الحرارة ذروتها خلال اليوم؛ ولذلك تسهل إثارة الغبار بعد تسخين سطح الأرض وجفاف التربة بالتزامن مع سرعات الرياح التي تتجاوز ١٢ عقدة في الغالب، ويلاحظ أيضاً أن المناطق التي ينخفض فيها المدى الرطبوبي ينخفض معها مدى الرؤية الأفقية أكثر من المناطق الأعلى منها نسبياً من حيث معدلات التدفق في وقت حدوث العاصفة الغبارية، وهذا يبرهن انخفاض العواصف الغبارية والأتربة المثارة في المناطق الرطبة والساحلية، وانخفاض زمن مكوث العوالق الغبارية في الغلاف الجوي لتلك المناطق بسبب تشبّع ذرات الغبار ببخار الماء ومن ثم ثقل وزنها وترسيبها على السطح.



(الشكل ١٥) موقع تشكّل العاصفة الغبارية على وادي الدواسر

المصدر: بتصرف <https://view.eumetsat.int>



(الشكل ١٦) صورة فضائية تُظهر كثافة الغبار على وادي الدواسر

**تحليل حالات العاصف الغبارية الأبرز في شهر أبريل ٢٠٢٤ على المملكة العربية ...، جواهر القحطاني وأخرون**

**الجدول ١١) بيانات محطات الرصد المناخية التي رصدت عاصفة يوم ٢٩ أبريل ٢٠٢٤**  
**الغبارية**

الرؤية	الضغط الجوي	الندى	الحرارة	اتجاه الرياح	سرعة الرياح/عقدة	التوقيت	البصرة ٢٩ أبريل ٢٠٢٤
2000DU	1010	12	28	500	8	03:00	
2000DU	1010	13	27	300	6	04:00	
2000DU	1011	13	27	80	8	06:00	
6000FEW	1011	17	29	90	6	07:00	
9999FEW	1011	15	29	70	10	08:00	
6000FEW	1011	15	30	60	12	09:00	
4000DU	1011	12	30	70	11	10:00	
6000FEW	1011	11	33	80	3	11:00	

الرؤية	الضغط الجوي	الندى	الحرارة	اتجاه الرياح	سرعة الرياح/عقدة	التوقيت	النفج ٢٩ أبريل ٢٠٢٤
6000FEW	1010	11	28	120	8	05:00	
7000SCT	1011	12	25	110	5	06:00	
7000SCT	1011	12	26	130	8	07:00	
7000SCT	1012	13	27	100	6	08:00	
7000BKN	1012	13	28	110	6	09:00	
6000BKN	1011	11	32	140	12	10:00	
4000DU	1011	11	33	140	10	11:00	
2500DU	1010	11	34	150	9	12:00	
4000DU	1010	10	35	170	17	13:00	
5000BLDU	1009	11	34	150	15	14:00	
6000SHRA	1010	18	25	160	11	15:00	

الرؤية	الضغط الجوي	الندى	الحرارة	اتجاه الرياح	سرعة الرياح/عقدة	التوقيت	القصيم ٢٩ أبريل
8000BKN	1011	8	29	230	6	16:00	
2000BLDU	1011	9	27	180	19	17:00	
3000BLDU	1011	9	26	170	19	18:00	
5000BLDU	1011	10	25	180	16	19:00	
2000TSSA	1010	13	27	180	52	20:00	

الرؤية	الضغط الجوي	الندي	الحرارة	اتجاه الرياح	سرعة الرياح/عقدة	التوقيت	الموسم ٢٩ أبريل
6000BKN	1013	13	22	120	12	08:00	
4000BLDU	1015	13	24	260	16	09:00	
4000BLDU	1016	11	24	220	20	10:00	
3000BLDU	1016	10	23	210	22	11:00	
900DS	1015	12	21	200	35	12:00	
3000BLSA	1015	12	20	160	32	13:00	
9999BKN	1014	12	19	140	30	14:00	

الرؤية	الضغط الجوي	الندي	الحرارة	اتجاه الرياح	سرعة الرياح/عقدة	التوقيت	موسم ٢٩ أبريل ٢٠٢٤ الدراسي
9000NSC	1011	2	37	70	4	12:00	
100DS/VV	1011	10	30	360	28	13:00	
300DS/VV	1009	9	31	360	28	14:00	
400DS/VV	1008	8	32	10	28	15:00	
1200BLDU	1007	7	33	360	18	16:00	
1600BLDU	1007	7	33	10	18	17:00	
600DS/VV	1008	7	32	360	28	18:00	
300DS/VV	1010	9	30	360	24	19:00	
800DS/VV	1013	10	28	340	24	20:00	
600DS/VV	1015	12	26	320	30	21:00	
1000BLDU	1013	14	22	30	20	22:00	
3000BLDU	1014	13	22	10	22	23:00	
7000FEW	1013	13	22	20	18	00:00	

المصدر: المركز الوطني للأرصاد ٢٠٢٤ م

#### نتائج والتوصيات:

بعد تحليل أبرز الحالات الغبارية التي حدثت في شهر أبريل ٢٠٢٤ على المملكة العربية السعودية استنتجنا ما يلي:

- أن العواصف الغبارية تبلغ ذروتها في شهر أبريل بالمقارنة والمراقبة مع الأشهر الأخرى.

- أن الحرارة عامل رئيسي مؤثر على تشكّل العواصف الغبارية نظراً لكونها العنصر الأهم في تدرج رياح الضغط الجوي التي تولد العواصف الغبارية.

## **تحليل حالات العواصف الغبارية الأبرز في شهر أبريل ٢٠٢٤ على المملكة العربية ...، جواهر القحطاني وأخرون**

- هناك نمط خاص لحركة العواصف الغبارية في المملكة تتحمه عليها الطبيعة التضاريسية لسطح الأرض.
- تتشكل العديد من العواصف الغبارية في المنطقة الجنوبية الحدودية للعراق مع المملكة العربية السعودية، وتصنف تلك المنطقة ضمن النقاط الساخنة لابعاثات العواصف الغبارية.
- التوصيات:
  - في ضوء النتائج السابقة يطرح البحث عدداً من التوصيات وهي:
  - أهمية الاعتماد على مخرجات الأقمار الصناعية وضرورتها في الدراسات المناخية جنباً إلى جنب مع البيانات المرصودة؛ نظراً لاتساع مساحة المملكة العربية السعودية وتباعد موقع التغطية الجغرافية للمحطات المأهولة.
  - بناءً على التوصية السابقة توصي الدراسة بزيادة نطاق محطات الرصد المناخي المأهولة خاصة في المناطق التي تشهد أحياناً متكررة من الطقس القاسي كالمنطقة بين وادي الدواسر والرياض وكذلك شرق الدوادمي.
  - ضرورة سرعة إيجاد الحلول المستدامة لتأهيل الترب الملحة المفككة على سواحل المملكة الشرقية خاصة أنها توافي مناطق ذات أهمية اقتصادية وصناعية و بترولية هامة.

المراجع:

مجدين، محمد محمود و العبيداء، عبد العزيز إبراهيم (٢٠١٢) المملكة العربية السعودية دراسة في الهوية الجغرافية، الإدارة العامة للمساحة العسكرية، الرياض، المملكة العربية السعودية.

**Alharbi, M.** (2023). *Analysis and prediction of dust storms across Saudi Arabia* [Master's thesis, King Abdulaziz University]. ResearchGate.

**Al-Jumaily, K. J., & Ibrahim, M. K.** (2013). Analysis of synoptic situation for dust storms in Iraq. *International Journal of Energy and Environment*, 4(5), 851–858. Retrieved from [http://www.ijee.ieefoundation.org/vol4/issue5/IJEE\\_09\\_v4n5.pdf](http://www.ijee.ieefoundation.org/vol4/issue5/IJEE_09_v4n5.pdf)

**Awad, A. M., & Mashat, A. A.** (2016). Synoptic characteristics of spring dust days over northern Saudi Arabia. *Air Quality, Atmosphere & Health*, 9(3), 285–294. <https://doi.org/10.1007/s11869-015-0320-0>

**Awadh, S. M.** (2023). Impact of North African sand and dust storms on the Middle East using Iraq as an example: Causes, sources, and mitigation. *Atmosphere*, 14(1), 180. <https://doi.org/10.3390/atmos14010180>

**Labban, A., & Butt, M.** (2021). Analysis of sand and dust storm events over Saudi Arabia in relation with meteorological parameters and ENSO. *Arabian Journal of Geosciences*. <https://doi.org/10.1007/s12517-020-05998-0>

**Mashat, A. A., Al-Mamoon, A. M., Awad, A. M., Khan, M. A., & Gassman, P. W.** (2020). Springtime dust classification and associated ozone distribution and synoptic features over northern Arabian Peninsula. *Arabian Journal of Geosciences*, 13, Article 949. <https://doi.org/10.1007/s12517-020-05998-0>

الموقع الالكتروني:

- <https://view.eumetsat.int>
- <https://worldview.earthdata.nasa.gov>
- <https://meteologix.com/>